

目 录

序 前言

第1篇 总 论

| | |
|------------------------------------|------|
| 第1章 机电一体化技术与现代制造 | |
| 产业 | 1-3 |
| 1·1 新技术革命与产业竞争..... | 1-3 |
| 1·2 传统机械工业的技术革命——机电一体化..... | 1-5 |
| 1·2·1 高新技术与传统机械工业的技术革命..... | 1-5 |
| 1·2·2 机电一体化基本概念..... | 1-6 |
| 1·2·3 机电一体化系统的基本结构要素..... | 1-6 |
| 1·2·4 机电一体化相关技术..... | 1-7 |
| 1·2·5 机电一体化的技术、经济和社会效益..... | 1-8 |
| 1·3 机电一体化在现代制造产业结构中的地位和作用..... | 1-10 |
| 1·3·1 机床产业数控化 | 1-10 |
| 1·3·2 机器人产业兴起 | 1-11 |
| 1·3·3 制造系统自动化 | 1-11 |
| 1·4 发达国家发展机电一体化产业的政策和策略 | 1-13 |
| 1·4·1 机电一体化与高技术发展战略 | 1-13 |
| 1·4·2 资金支持与政策优惠 | 1-13 |
| 1·4·3 市场开拓与保护的政策 | 1-14 |
| 1·4·4 紧密联合的科研生产体系 | 1-14 |
| 1·5 我国机电一体化产业现状和发展战略 | 1-15 |
| 1·5·1 发展现状 | 1-15 |
| 1·5·2 发展战略 | 1-16 |
| 第2章 机电一体化技术发展方向 | 1-18 |
| 2·1 机电一体化系统的理论基础 | 1-18 |
| 2·2 微型计算机技术及其在机电一体化中的地位 | 1-18 |
| 2·2·1 微型计算机技术和开发应用 | 1-18 |
| 2·2·2 微型计算机在机电一体化中的地位 | 1-22 |
| 2·2·3 机电一体化中使用计算机应注意的问题 | 1-22 |
| 2·2·4 未来计算机的发展方向及对机电一体化技术的影响 | 1-22 |
| 2·3 机械制造工程的机电一体化技术方向 | 1-23 |
| 2·3·1 机械产品的机电一体化技术方向 | 1-23 |
| 2·3·2 机械制造生产过程的机电一体化方向 | 1-23 |
| 2·3·3 普通设备的机电一体化改造 | 1-24 |
| 2·4 提高制造产业竞争力的技术方法 | 1-24 |
| 2·5 科学研究与生产应用 | 1-25 |
| 2·5·1 专门人材的培养 | 1-25 |
| 2·5·2 技术融合、学科交叉 | 1-26 |
| 2·5·3 科研与生产并举，相辅相成 | 1-26 |
| 2·5·4 促进科研成果向产业的转移 | 1-26 |
| 第3章 机电一体化系统设计和工程路线 | 1-28 |
| 3·1 现代系统设计的特征 | 1-28 |
| 3·2 系统设计的评价 | 1-28 |
| 3·3 评价分析方法 | 1-29 |
| 3·3·1 技术经济性分析 | 1-29 |
| 3·3·2 可靠性分析 | 1-30 |
| 3·3·3 柔性、功能扩展及再组合性分析 | 1-32 |
| 3·3·4 系统匹配性分析 | 1-32 |
| 3·3·5 操作性分析 | 1-32 |
| 3·3·6 维修性分析 | 1-32 |
| 3·3·7 安全性分析 | 1-32 |

| | | | |
|-----------------------------|--------------|------------------------------|-------|
| 3·3·1 UPS电源的基本结构..... | 2-180 | 4·3 过渡干扰的抑制..... | 2-207 |
| 3·3·2 UPS电源的选择原则及使用方法..... | 2-181 | 4·3·1 过渡干扰的成因..... | 2-207 |
| 3·3·3 常用 UPS 电源的性能比较 | 2-182 | 4·3·2 过渡干扰的抑制措施..... | 2-203 |
| 3·4 特种电源..... | 2-183 | 4·4 感性负载干扰与机械振动干扰的抑制措施..... | 2-205 |
| 3·4·1 线切割机用高压脉冲电源..... | 2-183 | 4·4·1 感性负载干扰及其抑制..... | 2-205 |
| 3·4·2 中频、高频电源..... | 2-183 | 4·4·2 机械振动干扰的抑制..... | 2-208 |
| 3·4·3 直流稳流电源..... | 2-185 | 4·5 隔离、屏蔽和接地技术..... | 2-209 |
| 第4章 抗干扰技术..... | 2-188 | 4·5·1 正确接地方法..... | 2-209 |
| 4·1 干扰的基本概念..... | 2-188 | 4·5·2 屏蔽..... | 2-212 |
| 4·1·1 干扰的基本含义..... | 2-188 | 4·5·3 输入、输出接口窜入干扰的隔离和抑制..... | 2-214 |
| 4·1·2 干扰的分类..... | 2-188 | 4·5·4 线间串扰的抑制..... | 2-215 |
| 4·1·3 干扰的传播..... | 2-189 | 4·6 模拟量抗干扰的其他措施..... | 2-220 |
| 4·1·4 提高设备抗干扰能力的一般原则..... | 2-189 | 4·6·1 抗串模干扰的方法..... | 2-220 |
| 4·2 电源干扰的抑制..... | 2-191 | 4·6·2 抗共模干扰的方法..... | 2-222 |
| 4·2·1 电源系统引入干扰的途径和频率范围..... | 2-191 | 4·6·3 放大器的屏蔽接地和去耦..... | 2-224 |
| 4·2·2 电源交流侧抑制干扰窜入的措施..... | 2-193 | 4·7 数字系统内部固有干扰及其抑制..... | 2-225 |
| 4·2·3 直流电源抗干扰措施..... | 2-199 | 4·7·1 数字系统内部固有干扰..... | 2-225 |
| 4·2·4 其他抗电源干扰措施..... | 2-200 | 4·7·2 数字系统内部固有干扰的抑制措施..... | 2-225 |
| 参考文献..... | 2-226 | | |

第3篇 工业控制机及其应用

| | | | |
|------------------------------|-------------|--|------|
| 第1章 概述..... | 3-3 | 2·2·4 母板的连接 | 3-32 |
| 1·1 工业控制机的发展及其特点与分类..... | 3-3 | 2·2·5 电路模板的电气特性 | 3-32 |
| 1·1·1 工业控制机的发展概况..... | 3-3 | 2·2·6 机械规范 | 3-32 |
| 1·1·2 工业控制机的分类..... | 3-4 | 2·3 STD 总线如何与各种字长的 CPU 兼容 | 3-33 |
| 1·1·3 工业控制机与信息处理机的区别..... | 3-7 | 2·3·1 STD 总线如何支持 Z-80、8085 等 8 位微处理器 | 3-33 |
| 1·2 工业控制计算机总线简介..... | 3-8 | 2·3·2 总线复用与 16 位 CPU 模板设计 | 3-34 |
| 1·2·1 开放式体系结构和总线系统..... | 3-8 | 2·3·3 32 位 STD 总线——STD 32 总线 | 3-35 |
| 1·2·2 常用微机总线介绍 | 3-10 | 2·3·4 单板机模式(即 All-in-one)..... | 3-37 |
| 1·3 微型计算机标准总线分类 | 3-24 | 2·3·5 STD 总线与单片机..... | 3-38 |
| 第2章 STD 总线工业控制机 | 3-26 | 2·4 工业控制机中的存贮器 | 3-39 |
| 2·1 概述 | 3-26 | 2·4·1 工业控制对存贮器的要求 | 3-40 |
| 2·1·1 STD 总线的实现 | 3-26 | 2·4·2 工业控制中常用的存贮器芯片 | 3-40 |
| 2·1·2 STD 总线的历史和发展..... | 3-26 | 2·4·3 STD 总线系统的存贮器 | 3-42 |
| 2·1·3 STD 总线的应用..... | 3-27 | 2·4·4 半导体虚拟磁盘 | 3-43 |
| 2·2 STD 总线规范..... | 3-28 | 2·5 基本系统组成和系统组合模式 | 3-45 |
| 2·2·1 STD 总线引脚定义..... | 3-28 | 2·5·1 工业控制机的基本系统 | 3-45 |
| 2·2·2 信号描述 | 3-30 | | |
| 2·2·3 电气规范 | 3-31 | | |

| | | | |
|--|-------------|--|--------------|
| 2·5·2 工业控制机系统组合模式 | 3-47 | 标记..... | 3-105 |
| 2·6 STD 总线的 I/O 子系统 | 3-49 | 3·4 iSBX I/O 总线..... | 3-108 |
| 2·6·1 概述 | 3-49 | 3·4·1 iSBX I/O 总线系统的结构..... | 3-108 |
| 2·6·2 开关量输入/输出..... | 3-50 | 3·4·2 iSBX I/O 总线信号..... | 3-108 |
| 2·6·3 A/D、D/A 及模拟信号调理 | 3-52 | 3·4·3 iSBX I/O 总线插头插座与 信号引脚分配..... | 3-110 |
| 2·6·4 运动控制接口 | 3-57 | 3·4·4 iSBX 多模块板的机械规范 | 3-110 |
| 2·6·5 GPIB 和 SBX 支持 | 3-59 | 3·4·5 iSBX I/O 总线兼容程度标记...3-111 | |
| 2·7 STD 总线的多处理器系统..... | 3-60 | 3·5 iLBX 总线 | 3-111 |
| 2·7·1 主从式多CPU 系统——智能 I/O 模板..... | 3-60 | 3·5·1 iLBX 总线系统的结构 | 3-111 |
| 2·7·2 总线仲裁与多主CPU 系统 | 3-64 | 3·5·2 iLBX 总线信号 | 3-111 |
| 2·8 分布式工业测控系统组成——串行 数据通信和工业局域网络 | 3-67 | 3·5·3 iLBX 总线操作 | 3-113 |
| 2·9 Watchdog、电源掉电检测及软件 可靠性措施 | 3-74 | 3·5·4 iLBX 总线的机械规范 | 3-115 |
| 2·9·1 Watchdog 及其应用..... | 3-74 | 3·5·5 iLBX 总线兼容程度标记 | 3-115 |
| 2·9·2 电源掉电检测及其应用 | 3-76 | 3·6 Multibus II 系统的结构..... | 3-115 |
| 2·9·3 提高可靠性的某些软件措施 | 3-77 | 3·7 Multibus II 并行系统总线..... | 3-117 |
| 2·10 STD 总线工业控制机的支持软件 | 3-78 | 3·7·1 Multibus II 并行系统总线信号...3-117 | |
| 2·10·1 概述..... | 3-78 | 3·7·2 Multibus II 并行系统总线的 通信协议..... | 3-121 |
| 2·10·2 STD DOS | 3-78 | 3·7·3 Multibus II 的机械规范..... | 3-124 |
| 2·10·3 嵌入式操作系统 POM-DOS..... | 3-79 | 3·8 iLBX II 局部扩充总线 | 3-124 |
| 2·10·4 VRTX 嵌入式实时多任务操作 系统..... | 3-81 | 3·8·1 iLBX II 局部扩充总线的功能 描述..... | 3-124 |
| 2·10·5 AMX 实时多任务操作系统 | 3-84 | 3·8·2 iLBX II 总线信号 | 3-125 |
| 2·10·6 QNX 实时多任务多用户网络 操作系统..... | 3-86 | 3·8·3 iLBX II 总线协议 | 3-126 |
| 2·10·7 高级语言的分离和固化运行..... | 3-86 | 3·9 MIX 模块接口扩充总线的结构与 功能..... | 3-126 |
| 2·10·8 在控制系统中的开发应用..... | 3-87 | 3·10 iRMX 实时多任务操作系统简介 ...3-127 | |
| 2·11 国内外先进产品介绍..... | 3-89 | 3·10·1 概述 | 3-127 |
| 2·11·1 国内典型产品..... | 3-89 | 3·10·2 iRMX 操作系统功能简介 | 3-128 |
| 2·11·2 国外典型产品..... | 3-91 | 3·10·3 实时多任务操作系统 DOS/ RMX..... | 3-131 |
| 第 3 章 Multibus 工业控制机..... | 3-94 | 3·11 Multibus I 和 II 的系统设计与 OEM 产品简介..... | 3-132 |
| 3·1 概述 | 3-94 | 3·11·1 Multibus I 和 II 的系统设计...3-132 | |
| 3·2 Multibus I 系统的结构..... | 3-94 | 3·11·2 Multibus I OEM 产品简介.....3-132 | |
| 3·3 Multibus I 系统总线..... | 3-96 | 第 4 章 VME 总线工业控制机 | 3-138 |
| 3·3·1 Multibus I 系统总线信号..... | 3-96 | 4·1 概述..... | 3-138 |
| 3·3·2 Multibus I 系统总线的操作..... | 3-98 | 4·1·1 VME 总线的发展 | 3-138 |
| 3·3·3 Multibus I 系统总线的电气 规范..... | 3-103 | 4·1·2 VME 总线特点 | 3-138 |
| 3·3·4 Multibus I 系统总线机械性能 规范..... | 3-105 | 4·2 VME 总线信号 | 3-138 |
| 3·3·5 Multibus I 系统总线兼容程度 | | 4·3 机械特性..... | 3-141 |
| | | 4·4 VME 总线功能结构 | 3-142 |

| | | | | | |
|-------------|---|--------------|------------|----------------------------|--------------|
| 4·4·1 | 数据传输总线..... | 3-142 | 5·1·3 | 单片机的应用..... | 3-166 |
| 4·4·2 | 优先级中断总线..... | 3-143 | 5·1·4 | 单片机系统的扩展和配置..... | 3-167 |
| 4·4·3 | 仲裁总线..... | 3-144 | 5·1·5 | 单片机技术发展的趋势..... | 3-167 |
| 4·4·4 | 公用总线..... | 3-145 | 5·2 | 单片机产品及性能介绍..... | 3-168 |
| 4·4·5 | 信号协议..... | 3-145 | 5·2·1 | 概述..... | 3-168 |
| 4·5 | 电气特性..... | 3-146 | 5·2·2 | 4位单片机..... | 3-169 |
| 4·5·1 | VEM总线信号线驱动器 | 3-146 | 5·2·3 | 8位单片机..... | 3-169 |
| 4·5·2 | 底板连接..... | 3-146 | 5·2·4 | 16位单片机..... | 3-179 |
| 4·5·3 | 配电..... | 3-146 | 5·2·5 | 32位单片机..... | 3-181 |
| 4·6 | VME总线的能力 | 3-146 | 5·2·6 | 模糊单片机..... | 3-183 |
| 4·6·1 | 寻址能力..... | 3-146 | 5·3 | 单片机的开发环境..... | 3-183 |
| 4·6·2 | 基本的数据传输能力..... | 3-147 | 5·3·1 | 概述..... | 3-183 |
| 4·6·3 | “不结盟的”(Unaligned) 传输能力..... | 3-147 | 5·3·2 | 单片机程序设计语言及支持 软件..... | 3-183 |
| 4·6·4 | 地址流水线能力..... | 3-148 | 5·3·3 | 开发环境中的人-机界面 | 3-185 |
| 4·6·5 | 中断能力..... | 3-149 | 5·3·4 | 开发环境的硬件种类..... | 3-187 |
| 4·6·6 | 建立虚拟通信通路..... | 3-150 | 5·3·5 | 单片机开发环境发展趋势..... | 3-188 |
| 4·7 | VME总线的应用 | 3-150 | 5·4 | 单片机的多机与网络系统..... | 3-189 |
| 4·7·1 | 改善CPU性能 | 3-150 | 5·4·1 | 工业测控领域的多机与网络 系统..... | 3-189 |
| 4·7·2 | 及时地响应重要事件..... | 3-151 | 5·4·2 | 单片机的串行接口与多机系统 plan..... | 3-189 |
| 4·7·3 | 系统初始化和诊断..... | 3-152 | 5·4·3 | plan网..... | 3-190 |
| 4·8 | VME总线的规范形式 | 3-152 | 5·4·4 | 位总线..... | 3-193 |
| 4·8·1 | 关键词..... | 3-152 | 5·4·5 | I ² C总线 | 3-197 |
| 4·8·2 | 定时要求..... | 3-153 | 5·4·6 | CAN总线 | 3-200 |
| 4·8·3 | 信号互连的专用符号..... | 3-153 | 5·5 | 单片机的应用..... | 3-201 |
| 4·9 | VME总线系列的UNIX System V/68操作系统及其实时环境 | 3-154 | 5·5·1 | 单片机应用系统设计概述..... | 3-201 |
| 4·9·1 | UNIX的产生、发展及主要 特点..... | 3-154 | 5·5·2 | 单片机应用系统的类型..... | 3-202 |
| 4·9·2 | UNIX System V/68的功能 及组成..... | 3-155 | 5·5·3 | 单片机在仪器仪表中的应用..... | 3-203 |
| 4·9·3 | UNIX向实时领域的迈进..... | 3-156 | 5·5·4 | 单片机在机电一体化设备控制 中的应用..... | 3-205 |
| 4·9·4 | System V/68下的实时环境 VMEexec | 3-156 | 5·5·5 | 单片机在家用电器中的应用..... | 3-206 |
| 4·9·5 | System V/68下的网络环境..... | 3-158 | 第6章 | PLC及其应用..... | 3-208 |
| 4·10 | VME总线系统——国产0604微型 计算机系统 | 3-159 | 6·1 | 概述..... | 3-208 |
| 4·11 | 国外VME总线系列新产品 | 3-160 | 6·1·1 | PLC发展概况..... | 3-208 |
| 第5章 | 微控制器技术及其发展 | 3-164 | 6·1·2 | PLC的特点..... | 3-210 |
| 5·1 | 概述..... | 3-164 | 6·1·3 | PLC的分类..... | 3-211 |
| 5·1·1 | 单片机、微控制器及嵌入式 控制器..... | 3-164 | 6·1·4 | PLC的技术发展趋势..... | 3-211 |
| 5·1·2 | 单片机的产生和发展..... | 3-164 | 6·1·5 | 国外PLC的典型应用概况..... | 3-213 |
| | | | 6·1·6 | 国产PLC及其在生产中的应用 | 3-214 |
| | | | 6·2 | PLC硬件体系..... | 3-215 |
| | | | 6·2·1 | 硬件结构..... | 3-215 |

| | | | |
|-----------------------------------|--------------|--------------------------------|-------|
| 6·2·2 CPU和中央存贮器..... | 3-216 | 7·3·3 工业局部网络的选型考虑..... | 3-282 |
| 6·2·3 I/O接口 | 3-218 | 7·3·4 几种 DCS 系统通信网络 举例..... | 3-283 |
| 6·2·4 电源、机架及扩展箱..... | 3-222 | 7·4 过程级设备..... | 3-285 |
| 6·2·5 PLC的工作原理..... | 3-223 | 7·4·1 过程级设备功能及分类..... | 3-285 |
| 6·2·6 智能 I/O 模板 | 3-226 | 7·4·2 过程控制设备的构成..... | 3-287 |
| 6·2·7 远程 I/O 模板 | 3-228 | 7·4·3 过程级设备的可靠性设计措施..... | 3-290 |
| 6·2·8 通信及网络..... | 3-229 | 7·4·4 典型过程级设备介绍..... | 3-290 |
| 6·2·9 编程器..... | 3-230 | 7·5 监控级设备..... | 3-292 |
| 6·3 PLC软件体系..... | 3-231 | 7·5·1 监控级设备的功能及类型..... | 3-292 |
| 6·3·1 PLC系统软件和应用软件..... | 3-231 | 7·5·2 监控级设备构成..... | 3-294 |
| 6·3·2 系统软件框图..... | 3-231 | 7·5·3 典型监控级设备介绍..... | 3-294 |
| 6·3·3 应用软件用编程语言..... | 3-233 | 7·6 分散型控制系统软件系统..... | 3-296 |
| 6·3·4 应用软件模块化——PLC 功能模块介绍..... | 3-248 | 7·6·1 概述..... | 3-296 |
| 6·4 PLC产品介绍..... | 3-248 | 7·6·2 实时操作系统..... | 3-296 |
| 第 7 章 分散型控制系统..... | 3-258 | 7·6·3 组态软件..... | 3-297 |
| 7·1 概述..... | 3-258 | 7·6·4 应用软件..... | 3-303 |
| 7·1·1 分散型控制系统的发展..... | 3-258 | 7·7 典型分散型控制系统介绍..... | 3-307 |
| 7·1·2 分散型控制系统的特点及 类型..... | 3-258 | 7·7·1 国外典型分散型控制系统 介绍..... | 3-307 |
| 7·2 分散型控制系统的体系结构..... | 3-259 | 7·7·2 国内典型分散型控制系统介绍..... | 3-313 |
| 7·2·1 建立分散型控制系统体系 结构的原则..... | 3-259 | 7·8 分散型控制系统应用举例..... | 3-320 |
| 7·2·2 分散型控制系统体系结构..... | 3-260 | 7·8·1 概述..... | 3-320 |
| 7·2·3 典型系统配置..... | 3-261 | 7·8·2 工艺简介..... | 3-320 |
| 7·3 分散型控制系统的数据通信网络..... | 3-262 | 7·8·3 系统构成及系统功能..... | 3-320 |
| 7·3·1 概述..... | 3-262 | 7·8·4 控制策略..... | 3-321 |
| 7·3·2 通信协议..... | 3-265 | 附录 典型 DCS 产品及其主要性能..... | 3-322 |
| | | 参考文献 | 3-326 |

第 4 篇 数

控 技 术

| | | | |
|--|-------------|---------------------------------|-------------|
| 第 1 章 数控设备概述..... | 4-3 | 第 3 章 典型数控系统 | 4-22 |
| 1·1 数控设备的结构与功能..... | 4-3 | 3·1 典型数控系统的组成 | 4-22 |
| 1·2 数控设备的分类..... | 4-3 | 3·1·1 CNC 系统的基本概念..... | 4-22 |
| 1·3 数控设备的发展动向..... | 4-5 | 3·1·2 CNC 系统的基本构成..... | 4-22 |
| 1·4 选用数控设备的原则与方法..... | 4-7 | 3·1·3 两类不同结构型式的 CNC 装置 | 4-23 |
| 第 2 章 数控机床的标准 | 4-10 | 3·2 典型数控系统的硬件结构 | 4-24 |
| 2·1 概述..... | 4-10 | 3·2·1 输入部件 | 4-24 |
| 2·2 数控机床的标准代码 | 4-10 | 3·2·2 CPU 及总线..... | 4-29 |
| 2·3 数控机床的坐标轴和运动方向 | 4-13 | 3·2·3 存贮部件 | 4-47 |
| 2·4 数控装置和数控机床电气设备间 的接口规范 | 4-13 | 3·2·4 I/O 接口电路..... | 4-53 |
| 附录 机床数控——坐标轴和运动方向 专用术语..... | 4-16 | 3·2·5 通信与网络接口 | 4-60 |
| | | 3·2·6 显示部件 | 4-60 |

| | | | |
|------------------------------|--------------|----------------------------|--------------|
| 3·3 典型数控系统的软件 | 4-63 | 4·4 机床控制程序的设计流程 | 4-150 |
| 3·3·1 控制软件结构与管理程序 | 4-63 | 4·5 可编程控制器的编程机 | 4-151 |
| 3·3·2 输入数据的处理 | 4-66 | 第5章 数控机床的程序编制 | 4-153 |
| 3·3·3 插补运算 | 4-70 | 5·1 数控机床编程基础 | 4-153 |
| 3·3·4 进给速度的控制 | 4-76 | 5·1·1 编程基础知识 | 4-153 |
| 3·3·5 诊断程序 | 4-78 | 5·1·2 数控机床的坐标系统 | 4-159 |
| 3·4 几种典型数控系统的参数和功能 | 4-80 | 5·1·3 数控系统的基本功能 | 4-160 |
| 3·4·1 国外主要 CNC 装置的生产 | | 5·2 工艺路线分析与工艺设计 | 4-162 |
| 厂家及其典型数控系统 | 4-80 | 5·3 工艺文件的编制 | 4-166 |
| 3·4·2 国内主要 CNC 装置的生产 | | 5·4 程序编制中的数值计算 | 4-170 |
| 厂家及其典型数控系统 | 4-106 | 5·4·1 直线和圆弧组成的零件轮廓 | |
| 第4章 数控机床用可编程控制器 | 4-117 | 的基点计算 | 4-170 |
| 4·1 可编程控制器与 CNC 机床的关系 | 4-117 | 5·4·2 非圆曲线的节点计算 | 4-179 |
| 4·1·1 概述 | 4-117 | 5·4·3 列表曲线的拟合 | 4-181 |
| 4·1·2 内装型 PLC | 4-117 | 5·4·4 空间曲面的数学处理 | 4-183 |
| 4·1·3 独立型 PLC | 4-118 | 5·5 数控车床与加工中心手工编程 | |
| 4·1·4 可编程控制器典型产品的主要 | | 举例 | 4-184 |
| 性能 | 4-118 | 5·5·1 数控车床编程举例 | 4-184 |
| 4·2 可编程控制器的工作方式 | 4-121 | 5·5·2 加工中心编程举例 | 4-184 |
| 4·3 可编程控制器的指令系统 | 4-124 | 附录1 常用切削用量表 | 4-189 |
| 4·3·1 PC-B 的指令系统 | 4-124 | 附录2 国外数控系统准备功能一览 | |
| 4·3·2 S5-U 系列可编程控制器的 | | 表 | 4-197 |
| 指令系统 | 4-125 | 参考文献 | 4-204 |
| 4·3·3 FAGOR PLC 的指令系统 | 4-147 | | |

第5篇 检

| | |
|----------------------------|------------|
| 第1章 传感器及其使用技术 | 5-3 |
| 1·1 传感器的基本知识 | 5-3 |
| 1·1·1 传感器及其组成 | 5-3 |
| 1·1·2 传感器的分类 | 5-3 |
| 1·1·3 传感器的特性 | 5-5 |
| 1·1·4 传感器的性能指标 | 5-15 |
| 1·1·5 传感器的输入、输出特性和对 | |
| 环境的要求 | 5-15 |
| 1·1·6 传感器的标定和校准 | 5-16 |
| 1·2 位移和长度传感器 | 5-17 |
| 1·2·1 位移和长度传感器的选用 | 5-17 |
| 1·2·2 电感式(自感式)传感器 | 5-18 |
| 1·2·3 变压器式(互感式)传感器 | 5-26 |
| 1·2·4 电涡流式传感器 | 5-29 |
| 1·2·5 电容式传感器 | 5-32 |
| 1·2·6 电触式传感器 | 5-39 |
| 1·2·7 电位器式传感器 | 5-42 |
| 1·2·8 应变式传感器 | 5-44 |

| | |
|-------------------------|------|
| 1·2·9 感应同步器 | 5-44 |
| 1·2·10 磁栅式传感器 | 5-49 |
| 1·2·11 光栅式传感器 | 5-51 |
| 1·2·12 光学码盘式传感器 | 5-58 |
| 1·2·13 激光式传感器 | 5-60 |
| 1·2·14 光电式传感器 | 5-62 |
| 1·2·15 气电转换传感器 | 5-67 |
| 1·2·16 压电式位移传感器 | 5-69 |
| 1·2·17 霍尔式传感器 | 5-69 |
| 1·3 速度传感器 | 5-74 |
| 1·3·1 速度传感器的主要性能和特 | |
| 点 | 5-74 |
| 1·3·2 磁电感应式速度传感器 | 5-75 |
| 1·3·3 陀螺式角速度传感器 | 5-77 |
| 1·3·4 差动变压器式速度传感器 | 5-80 |
| 1·3·5 光电式速度和转速传感器 | 5-80 |
| 1·3·6 多普勒效应测速传感器 | 5-80 |
| 1·3·7 转速传感器 | 5-82 |

| | | | |
|----------------------------------|-------|---------------------------------|-------|
| 1·3·8 流速传感器 | 5-82 | 1·9·2 碳粒送话器 | 5-137 |
| 1·3·9 其它测速方法 | 5-84 | 1·9·3 压电声敏传感器 | 5-137 |
| 1·4 力、扭矩和压力传感器 | 5-84 | 1·9·4 静电扬声器 | 5-138 |
| 1·4·1 力、扭矩和压力传感器的类型 和特点 | 5-84 | 1·10 半导体彩色传感器 | 5-138 |
| 1·4·2 弹性敏感元件 | 5-86 | 1·11 热敏传感器 | 5-139 |
| 1·4·3 电阻应变片式力、扭矩和压力 传感器 | 5-90 | 1·11·1 半导体热敏电阻 | 5-139 |
| 1·4·4 压阻式力、压力传感器 | 5-98 | 1·11·2 二极管热敏传感器 | 5-139 |
| 1·4·5 压电式力、压力传感器 | 5-102 | 1·11·3 晶体管热敏传感器 | 5-139 |
| 1·4·6 压磁式力传感器 | 5-108 | 1·11·4 光纤温度传感器 | 5-140 |
| 1·4·7 谐振式力、力矩和压力传感 器 | 5-111 | 1·12 磁敏传感器 | 5-140 |
| 1·4·8 位移式力、压力传感器 | 5-115 | 1·12·1 磁敏传感器的种类及其检测 极限 | 5-140 |
| 1·4·9 其它类型压力和扭矩传感器 | 5-117 | 1·12·2 霍尔效应型传感器 | 5-141 |
| 1·5 惯性角参数传感器 | 5-119 | 1·12·3 超导量子干涉器件 | 5-141 |
| 1·5·1 压电射流速率传感器 | 5-119 | 1·13 气体传感器 | 5-142 |
| 1·5·2 三维压电射流姿态传感器 | 5-121 | 1·13·1 半导体气体传感器 | 5-142 |
| 1·6 惯性加速度和倾角传感器 | 5-123 | 1·13·2 固体电解质气体传感器 | 5-144 |
| 1·6·1 石英挠性伺服加速度传感器 | 5-123 | 1·13·3 真空度传感器 | 5-144 |
| 1·6·2 哥氏惯性速度和加速度传感 器 | 5-125 | 1·13·4 微波气体成分传感器 | 5-144 |
| 1·6·3 参量式倾斜传感器 | 5-125 | 1·13·5 光学气体成分传感器 | 5-144 |
| 1·6·4 振弦式倾斜传感器 | 5-126 | 1·13·6 谐振微桥传感器 | 5-144 |
| 1·6·5 力平衡式倾斜传感器 | 5-126 | 1·14 湿度和水分传感器 | 5-145 |
| 1·6·6 气体线加速度传感器 | 5-128 | 1·14·1 湿度传感器的分类 | 5-145 |
| 1·6·7 气体摆式倾角传感器 | 5-130 | 1·14·2 水分子亲和力型湿度传感 器 | 5-145 |
| 1·7 振动加速度传感器 | 5-131 | 1·14·3 非水分子亲和力型湿度传感 器 | 5-147 |
| 1·7·1 压电振动加速度传感器 | 5-131 | 1·15 生物传感器 | 5-148 |
| 1·7·2 压阻式振动加速度传感器 | 5-132 | 1·15·1 生物传感器的原理 | 5-148 |
| 1·7·3 磁致伸缩式振动加速度传感 器 | 5-133 | 1·15·2 电化学生物传感器 | 5-148 |
| 1·7·4 PVDF心音脉搏传感器 | 5-133 | 1·15·3 生物电子传感器 | 5-149 |
| 1·8 物位传感器 | 5-134 | 1·15·4 光生物传感器 | 5-150 |
| 1·8·1 放射性同位素物位传感器 | 5-134 | 1·15·5 微生物传感器 | 5-150 |
| 1·8·2 超声物位传感器 | 5-134 | 1·15·6 离子敏场效应晶体管传感 器 | 5-152 |
| 1·8·3 超声界面传感器 | 5-134 | 1·15·7 半导体化学集成传感器 | 5-153 |
| 1·8·4 微波物位传感器 | 5-135 | 第2章 测量电路 | 5-154 |
| 1·8·5 流量式液位传感器 | 5-135 | 2·1 测量电路总论 | 5-154 |
| 1·8·6 玻璃管式液位传感器 | 5-136 | 2·1·1 测量电路的类型与组成 | 5-154 |
| 1·8·7 平衡浮子式液位传感器 | 5-136 | 2·1·2 基本转换电路 | 5-155 |
| 1·9 声敏传感器 | 5-136 | 2·2 测量放大器 | 5-161 |
| 1·9·1 声敏传感器的分类 | 5-136 | 2·2·1 测量放大器的主要特点与要 求 | 5-161 |

| | | | |
|-----------------------------------|--------------|---------------------------------|--------------|
| 2·2·2 低噪声放大器..... | 5-161 | 3·5·1 国产三种类型数显装置的对照分析..... | 5-300 |
| 2·2·3 高稳定性放大器..... | 5-163 | 3·5·2 数显装置的选用方法..... | 5-300 |
| 2·2·4 高输入阻抗放大器..... | 5-164 | 3·5·3 数显装置的安装和调试..... | 5-301 |
| 2·2·5 高共模抑制比放大器..... | 5-166 | 3·5·4 数显装置的应用实例..... | 5-314 |
| 2·2·6 参量放大器与电荷放大器..... | 5-168 | 3·6 数显装置的维护与修理..... | 5-318 |
| 2·2·7 放大器的线性化与量程切换..... | 5-170 | 3·6·1 日常维护..... | 5-318 |
| 2·2·8 放大器的频率特性..... | 5-173 | 3·6·2 数显装置的故障判断和处理..... | 5-319 |
| 2·3 调制与解调电路..... | 5-174 | 第4章 仪器仪表智能化..... | 5-323 |
| 2·3·1 调制的功用与类型..... | 5-174 | 4·1 概述..... | 5-323 |
| 2·3·2 信号的幅值调制与解调..... | 5-174 | 4·1·1 智能化仪器仪表的基本结构..... | 5-323 |
| 2·3·3 信号的频率调制与解调..... | 5-186 | 4·1·2 智能化仪器仪表的特点..... | 5-323 |
| 2·3·4 信号的相位调制与解调..... | 5-188 | 4·2 微型机与检测仪器仪表的接口技术..... | 5-323 |
| 2·3·5 信号的脉宽调制与解调..... | 5-191 | 4·2·1 传感器与微型机的接口技术..... | 5-324 |
| 2·4 滤波器..... | 5-192 | 4·2·2 智能仪器仪表显示器件与微机的接口..... | 5-330 |
| 2·4·1 滤波器的基本知识..... | 5-192 | 4·2·3 微型机与仪器面板的接口..... | 5-334 |
| 2·4·2 常用二阶有源滤波器电路..... | 5-204 | 4·3 仪器仪表智能化的基本运算与处理..... | 5-338 |
| 2·4·3 有源滤波器设计方法..... | 5-204 | 4·3·1 基本函数近似计算..... | 5-338 |
| 2·5 模拟运算电路..... | 5-220 | 4·3·2 几种常用数值计算方法..... | 5-340 |
| 2·5·1 线性加减电路..... | 5-221 | 4·3·3 常用非数值计算处理方法..... | 5-341 |
| 2·5·2 微分与积分运算电路..... | 5-223 | 4·3·4 信号预处理..... | 5-345 |
| 2·5·3 绝对值、平均值、峰值运算电路..... | 5-229 | 4·3·5 静态误差修正..... | 5-349 |
| 2·5·4 乘、除、乘方、开方电路..... | 5-231 | 4·4 信号处理技术..... | 5-352 |
| 2·5·5 函数电路..... | 5-233 | 4·4·1 信号处理基础..... | 5-352 |
| 2·6 细分、辨向、当量变换与编码变换电路..... | 5-240 | 4·4·2 谱分析..... | 5-370 |
| 2·6·1 细分、辨向电路的选用..... | 5-240 | 4·4·3 时间序列分析..... | 5-374 |
| 2·6·2 细分、辨向常用电路..... | 5-240 | 4·5 人工智能在检测技术中的应用..... | 5-379 |
| 2·6·3 脉冲当量变换电路..... | 5-257 | 4·5·1 基本概念..... | 5-379 |
| 2·6·4 二进码与循环码的变换..... | 5-263 | 4·5·2 设备故障诊断技术..... | 5-380 |
| 第3章 机床数显装置..... | 5-265 | 4·5·3 图象识别技术在检测中的应用..... | 5-383 |
| 3·1 数显装置的工作原理..... | 5-265 | 4·6 精密量仪的微机化..... | 5-383 |
| 3·2 数显装置常用的位移传感器..... | 5-265 | 4·6·1 精密圆度仪..... | 5-383 |
| 3·3 国内外数显表的型谱..... | 5-277 | 4·6·2 齿轮量仪..... | 5-386 |
| 3·4 数显装置实例..... | 5-290 | 4·6·3 表面粗糙度量仪..... | 5-397 |
| 3·4·1 感应同步器数显装置..... | 5-290 | 4·6·4 三坐标测量机..... | 5-401 |
| 3·4·2 光栅数显装置..... | 5-293 | 参考文献..... | 5-419 |
| 3·4·3 磁尺数显装置..... | 5-294 | | |
| 3·4·4 单片机数显装置..... | 5-299 | | |
| 3·5 数显装置的应用..... | 5-300 | | |

第2篇 机电一体化常用电路

主 编 黄义源

副 主 编 商斌雄

主 审 陈 瑜

编写人员

第1章 黄义源

第2章 任仕纯 顾列平 李景华

王 君

第3章 程昌银

第4章 商斌雄

第1章 模拟电路及其应用

1.1 常用半导体器件及其参数

1.1.1 分立器件及其参数

1. 二极管

半导体二极管大多数以一个PN结为基础，将PN结封装在管壳内，引出电极引线。按用途可分为整流、检波、开关、稳压等二极管。

(1) 整流二极管 整流二极管用于将交流电整流成直流电。额定正向电流 I_F 的范围为 $30\text{mA} \sim 800\text{A}$ 。最高反向工作电压范围为 $25 \sim 2000\text{V}$ 。一般都是采用硅材料制作的面结型的功率器件。由于结面积较大，结电容也较大，因而工作频率较低，多在 3kHz 以下。

为方便使用，按全波桥式整流式组装好的硅整流桥，也有系列化产品。

在应用中，主要根据额定电流及最高反向工作电压来选择整流二极管。对于单相桥式整流电路，整流管承受的最大反向电压为电源电压的峰值，流过每管的电流为输出电流的一半，考虑到电容滤波时的浪涌电流，应选用额定电流较大（例如较计算电流大50%）的整流管。

常用硅整流二极管的型号及主要参数见表2·1-1。

硅整流二极管的最高反向峰值电压 U_{RM} 一般分为22档，规格号顺序为A～X，相对应的反向电压为 $25 \sim 3000\text{V}$ ，详见表2·1-2。

近年来，有些塑封、玻璃整流二极管在外表用色环表示最高反向峰值电压，常见的规格见表2·1-3。带色环的端为负端。

表2·1-1 常用硅整流二极管的型号及主要参数

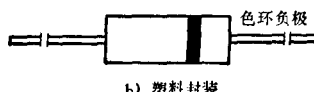
| 型 号 | 最高反向峰值电压 $U_{RM}(\text{V})$ | 正向平均电流 $I_F(\text{A})$ | 正向平均压降 $U_F(\text{V})$ | 反向漏电流 $I_R(\mu\text{A})$ | 最高结温 $T_j(\text{°C})$ | 外形图图号 |
|-------|--------------------------------|---------------------------|---------------------------|-----------------------------|--------------------------|-------|
| 2CZ31 | 50~800 | 1 | ≤ 0.8 | ≤ 5 | 150 | 图 a |
| 2CZ32 | | 1.5 | | ≤ 3 | | |
| 2CZ33 | | 1 | | ≤ 3 | | |
| 2CZ34 | | 25~1000 | | ≤ 0.7 | | |
| 2CZ52 | 25~2000 | 0.1 | ≤ 1 | ≤ 1 | 150 | 图 c |
| 2CZ53 | | 0.3 | | ≤ 5 | | |
| 2CZ54 | | 0.5 | | ≤ 10 | | |
| 2CZ55 | | 1 | | | | |
| 2CZ56 | 100~2000 | 3 | ≤ 0.8 | ≤ 20 | 140 | 图 e |
| 2CZ57 | 25~2000 | 5 | | ≤ 30 | | |
| 2CZ58 | | 10 | | ≤ 40 | | |
| 2CZ59 | | 20 | | ≤ 50 | | |
| 2CZ60 | | 50 | | | | |
| 2CZ80 | 25~800 | 0.03 | ≤ 1.2 | ≤ 5 | | 图 c |
| 2CZ81 | | 0.05 | | | | |

(续)

| 型 号 | 最高反向峰值电压 U_{RM} (V) | 正向平均电流 I_F (A) | 正向平均压降 U_F (V) | 反向漏电流 I_R (pA) | 最高结温 T_J (°C) | 外形图图号 | | |
|-------|--------------------------|---------------------|---------------------|---------------------|--------------------|-------|--|--|
| 2CZ82 | 25~2000 | 0.1 | ≤ 1 | ≤ 5 | 130 | 图 c | | |
| 2CZ83 | | 0.3 | | | | | | |
| 2CZ84 | | 0.5 | | | | | | |
| 2CZ85 | | 1 | | | | | | |
| 2CZ86 | 25~1000 | 3 | ≤ 0.8 | ≤ 20 | 130 | 图 b | | |
| 2CZ87 | 25~1400 | 2 | | ≤ 20 (mA) | | | | |
| 2CZ88 | | 3 | | | | | | |
| 2CZ90 | | 5 | | | | | | |
| 2DZ12 | 50~1400 | 0.1 | ≤ 1 | 5 | 150 | 图 d | | |
| 2DZ13 | 25~2000 | 0.3 | | 10 | | | | |
| 2DZ14 | | 0.5 | | | | | | |
| 2DZ15 | | 1 | | | | | | |
| 2DZ16 | 50~1400 | 3 | ≤ 0.8 | 20 | 140 | 图 e | | |
| 2DZ17 | | 5 | | | | | | |



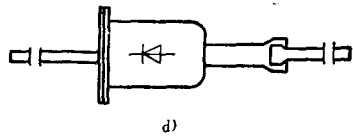
a) 玻璃钝化、实体封装



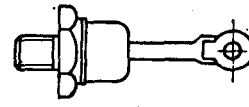
b) 塑料封装



c) 玻璃封装



d)



e)

表2·1-2 整流二极管的最高反向峰值电压规格 (V)

| A | B | C | D | E | F | G | H | J | K | L |
|------|------|------|------|------|------|------|------|------|------|------|
| 25 | 50 | 100 | 200 | 300 | 400 | 500 | 600 | 700 | 800 | 900 |
| M | N | P | Q | R | S | T | U | V | W | X |
| 1000 | 1200 | 1400 | 1600 | 1800 | 2000 | 2200 | 2400 | 2600 | 2800 | 3000 |

表2·1-3 用色环表示整流二极管的最高反向峰值电压规格

| 色 环 | 黑 | 棕 | 红 | 橙 | 黄 | 绿 | 蓝 | 紫 | 灰 |
|--------------|----|-----|-----|-----|-----|-----|-----|-----|-----|
| U_{RM} (V) | 50 | 100 | 200 | 300 | 400 | 500 | 600 | 700 | 800 |

一般正向电流 I_F 在1A以上的采用金属壳封装，以保证良好的散热， I_F 在1A以下的，大多采用全塑料封装，其结构如图2·1-1所示。

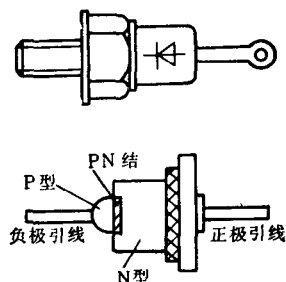


图2·1-1 整流二极管结构

(2) 检波二极管 检波二极管用于将叠加在高频电磁波(载波)上的低频信号检出来。要求它具有较高的检波效率和良好的频率特性，正向压降、结电容要小。检波二极管都是高频小功率器件，一般都采用锗材料的点接触结构。其结构如图2·1-2所示。

表2·1-4给出了典型检波二极管的数据。

(3) 开关二极管 开关二极管主要用于开关、脉冲电路中，起接通或关断电路的作用。其主

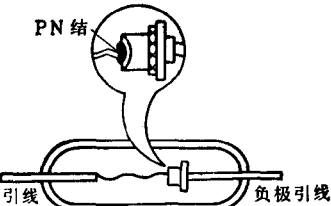
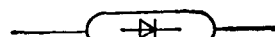


图2·1-2 检波二极管结构

要特点是反向恢复时间短，能满足快速开、关的需要。为了消除影响开关时间的少数载流子存储效应，常采用掺金工艺或采用含金的单晶材料，这样可将反向恢复时间 t_{rr} 缩短到2ns以内。

表2·1-5列出了几种常用开关二极管的主要参数。

(4) 稳压二极管 PN结反向击穿时，其两端电压基本上不随电流的变化而变化。稳压管正是利用这一特点，来达到稳压的目的。稳定电压为1~500V、功耗为0.25~50W的各种稳压管，品种齐

表2·1-4 锗检波二极管

| 型 号 | 正 向 电 流 I_F (mA) | 反 向 电 压 U_R (V) | 检 波 效 率 η (%) | 结 电 容 C_0 (pF) | 最 高 工 作 频 率 f_m (MHz) |
|-------|-----------------------|----------------------|-----------------------|---------------------|----------------------------|
| 2AP9 | 5 | 20 | ≥55 | ≤1 | 100 |
| 2AP10 | 5 | 30 | ≥55 | ≤1 | 100 |
| 2AP11 | 25 | 10 | | ≤1 | 40 |
| 2AP12 | 40 | 10 | | ≤1 | 40 |
| 2AP13 | 20 | 30 | | ≤1 | 40 |
| 2AP14 | 30 | 30 | | ≤1 | 40 |
| 2AP15 | 30 | 30 | | ≤1 | 40 |
| 2AP16 | 20 | 50 | | ≤1 | 40 |
| 2AP17 | 15 | 100 | | ≤1 | 40 |

表2·1-5 常用开关二极管的主要参数

| 型 号 | 正 向 电 流 I_F (mA) | 反 向 电 压 U_R (V) | 反向恢复时间 t_{rr} (ns) | 结 电 容 C_0 (pF) | 反向漏电流 I_R (μA) |
|-----------|-------------------------|----------------------|-------------------------|---------------------|---------------------|
| 2CK42 A~E | 150 | 15~75 | ≤6 | ≤5 | ≤1 |
| 2CK43 A~E | 10 | 15~75 | ≤2 | ≤1.5 | ≤0.1 |
| 2CK44 A~E | 10 | 15~75 | ≤6 | ≤5 | ≤0.5 |
| 2CK03~50 | $3 \sim 50 \times 10^3$ | 40~120 | 200~500 | 130~400 | |
| DK205 | 5×10^3 | 300~500 | ≤500 | 50 | |

表2·1-6 几种稳压二极管的主要参数

| 型 号 | 最 大 功 耗 P_{ZM} (mW) | 最 大 工 作 电 流 I_{ZM} (mA) | 稳 定 电 压 U_Z (V) | 动 态 电 阻 | |
|--------|--------------------------|------------------------------|----------------------|----------------|---------------|
| | | | | r_Z (Ω) | I_{Z1} (mA) |
| 2CW50 | 250 | 83 | 1.0~2.8 | 50 | 10 |
| 2CW51 | 250 | 71 | 2.5~3.5 | 60 | 10 |
| 2CW52 | 250 | 55 | 3.2~4.5 | 70 | 10 |
| 2CW53 | 250 | 41 | 4.0~5.8 | 50 | 10 |
| 2CW54 | 250 | 38 | 5.5~6.5 | 30 | 10 |
| 2CW55 | 250 | 33 | 6.2~7.5 | 15 | 10 |
| 2CW56 | 250 | 27 | 7.0~8.8 | 15 | 5 |
| 2CW57 | 250 | 26 | 8.5~9.5 | 20 | 5 |
| 2DW232 | 200 | 30 | 5.8~6.6 | ≤ 10 | 10 |
| 测试条件 | | | $I_Z = I_{Z1}$ | $I_Z = I_{Z1}$ | |

备，可根据需要选用。

稳压二极管的主要参数是稳定电压 U_Z ，产品所标的 U_Z 是指在额定工作电流下的反向击穿电压值。稳压二极管性能的好坏，可用动态电阻 r_Z 来表示， $r_Z = \Delta U_Z / \Delta I_Z$ ， r_Z 越小，稳压性能越好。 r_Z 是随工作电流 I_Z 而变化的， I_Z 增大， r_Z 则变小。所以，为获得好的稳压效果，工作电流要适当地选大一点，但不得超出它的最大工作电流 I_{ZM} 。

表2·1-6列出了几种稳压二极管的主要参数。

由于工艺方面的原因，同一型号的管子，稳压值并不完全相同，但对某个管子而言，其稳压值是确定的。

使用稳压管时必须注意：a. 反向偏置时应用在特性曲线的反向击穿区。b. 为不使反向击穿电流过大，以免烧坏管子，电路中必须串联限流电阻。

2. 双极型晶体管

半导体器件按其导电机理可分为单极型器件和双极型器件两类。单极型器件是指在工作过程中只有单一的多数载流子（电子或空穴）参与运动。较典型的是场效应器件。在工作中有多数载流子和少数载流子共同参与运动的器件，称双极型器件。凡以 PN 结为基础的二极管、三极管基本上都是双极型器件。

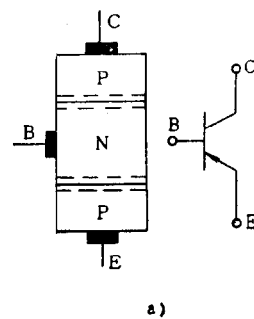
半导体三极管简称晶体管，分双极型晶体管和场效应晶体管两大类。通常不加说明时，所谓晶体管（三极管）就是指双极型晶体管。

晶体管中，除少数锗管外，绝大部分都是硅管。与锗管相比，硅管的漏电流小，温度稳定性与适应性好，热导率高，因而抗烧毁性能好，工艺成

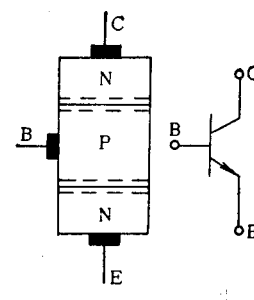
熟，器件稳定可靠，硅材料来源丰富。

晶体管按极性可分为 NPN 管和 PNP 管。硅晶体管大多数采用 NPN 结构，因为对硅管而言，PNP 结构的电流放大系数 β 和特征频率 f_T 要比 NPN 结构的小得多。而锗管几乎全是 PNP 结构。

(1) 晶体管的结构特点 晶体管是一种三极双结结构的半导体器件，如图2·1-3所示。



a)



b)

图2·1-3 晶体管的结构形式

a) PNP b) NPN

三个电极中，发射极用来发射载流子；集电极则将发射极发出的载流子收集起来，形成集电极电流；基极位于发射极与集电极之间，控制发射极载流子的发射，也就是控制集电极电流。为此，晶体管在结构上具有下述特点：

a. 发射区的掺杂浓度大，以便产生较多的载流子。

b. 集电区的面积大，以便尽可能多的收集从发射区发出的载流子。

c. 基区做得很薄，且掺杂浓度很低，以减小基极电流，增强基极的控制作用。

(2) 晶体管的三种基本接法 晶体管在电路应用中，由于公共端不同，可分为共发射极、共集电极和共基极三种接法，如图2·1·4所示。

三种接法中，共发射极接法的电压放大倍数、电流放大倍数和功率放大倍数都是最大的，因而应用最广泛。表2·1·7对这三种接法的特点作了比较，供应用时参考。

(3) 晶体管的特性参数和工作状态 晶体管的特性曲线，能全面、直观地反映晶体管的特性。

其中最常用的是共发射极的输入、输出特性曲线，如图2·1·5所示。输入特性曲线与二极管的正向特性曲线类似。输出特性曲线则是一簇以 I_B 为参变量的曲线，对应于不同的 I_B 值，输出特性可以分成三个区域。

截止区： $I_B = 0$ 那条曲线下面的阴影区。

饱和区：曲线拐点连线左侧部分的阴影区。

放大区：截止区与饱和区之间的曲线平坦部分。

与特性曲线三个区域相对应，晶体管有三种工作状态，即截止状态、饱和状态和放大状态。表2·1·8列出了晶体管三种工作状态的特点。

在模拟电路中，晶体管常用作放大元件，主要工作在放大状态。在数字电路中，晶体管作为开关元件，主要工作在饱和状态和截止状态。

晶体管的性能，厂家提供的大多是一组参数，其中主要的有：

1) 穿透电流 I_{CEO} 表示管子截止性能的好坏，此值越小越好，硅管为微安级，锗管为数十到数百微安。

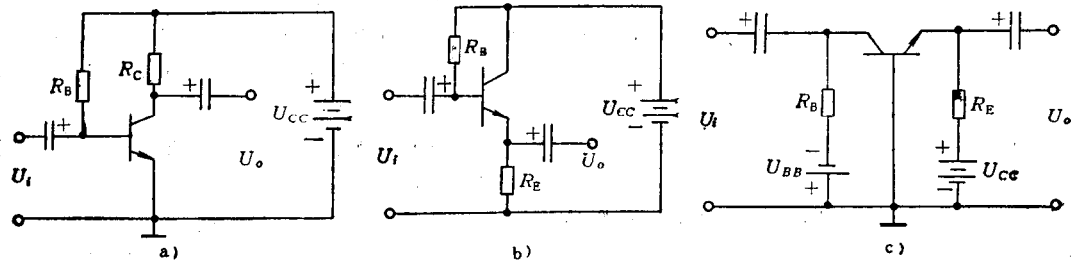


图2·1·4 晶体管的三种接法

a) 共发射极 b) 共集电极 c) 共基极

表2·1·7 晶体管三种接法的比较

| 参数名称 | 共发射极电路 | 共集电极电路 | 共基极电路 |
|--------|---------------|------------------|----------------|
| 电压放大倍数 | 大 | 小(小于并接近于1) | 大 |
| 电流放大倍数 | 大(即 β) | 大($1 + \beta$) | 小(小于并接近于1) |
| 功率放大倍数 | 大(约30~40dB) | 小(约10dB) | 中(约15~20dB) |
| 输入电阻 | 中(几百到几千欧) | 大(几十千欧以上) | 小(几至几十欧) |
| 输出电阻 | 中(几千到几十千欧) | 小(几欧至几十欧) | 大(几十千欧至几百千欧) |
| 频率特性 | 高频性能差 | 频率性能良好 | 高频性能好 |
| 应用 | 电压放大电路及开关电路 | 输入级、输出级及阻抗变换 | 高频或宽频带电路及恒流源电路 |

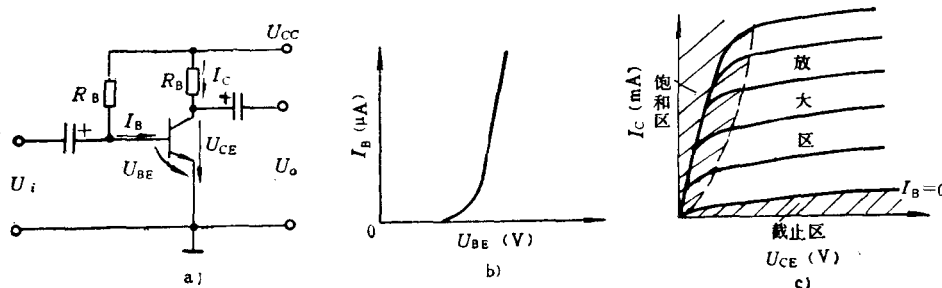


图2·1·5 晶体管的特性曲线

a) 共发射极电路 b) 输入特性 c) 输出特性

表2·1·8 晶体管的三种工作状态

| | 截止状态 | 饱和状态 | 放大状态 |
|------|--|--|--|
| 偏置 | 发射结零偏或反偏 集电结反偏 | 发射结正偏 集电结正偏 | 发射结正偏 集电结反偏 |
| 特点 | $I_C = I_{CEO} \approx 0$ $U_{CE} = U_{CC}$ | $I_C \approx U_{CC}/R_C$ $U_{CE} = U_{CES} \approx 0$ | $I_C = \beta I_B$ $U_{CE} = U_{CC} - I_C R_C$ |
| 特征参数 | I_{CEO} | U_{CES} | β |

2) 饱和压降 U_{CES} 表征管子的饱和性能。小功率硅管的 $U_{CES} < 0.5$ V。 U_{CES} 小，则管子的动态范围大。

3) 共发射极电流放大倍数 β 手册上常用 h_{FE} 表示，表征管子在线性区域内的电流放大能力。一般小功率管的 β 值在 20~200 范围内。

4) 极限参数 I_{CM} 、 $U_{(BR)CEO}$ 、 P_{CM} 极限参数规定了管子的安全工作区，使用时不得超过（参看 1·4·4 节），设计电路时，主要是根据极限参数来选择管子。

(4) 晶体管的小信号模型 晶体管是一种非线性器件，但在小信号条件下工作时，工作的动态范围不超出特性曲线的线性区域（图 2·1·5 c 中的放大区）时，晶体管的特性可视为线性的，可用图 2·1·6 所示的线性模型来等效。晶体管的输入回路用电阻 r_{be} 来等效， $r_{be} = \Delta U_{BE}/\Delta I_B$ 。输出回路则可用一个同集电极电压无关的恒流源 $\beta \Delta I_B$ 来等效。

r_{be} 称为晶体管的输入电阻，对于低频小功率管，工作在小信号条件下（例如 I_B 小于 2 mA 时）， r_{be} 的数值可用下式估算：

$$r_{be} = 300 + (\beta + 1) \frac{26(\text{mV})}{I_B(\text{mA})} \quad (2·1·1)$$

$\beta \Delta I_B$ 表明了晶体管的放大作用，也说明晶体管是一个电流控制元件。晶体管的放大作用，实质上就是 ΔI_B 的控制作用， $\Delta I_B = 0$ 时， $\beta \Delta I_B$ 不复存在。

(5) 低频小功率晶体管 用于表征晶体管频率特性的，主要有 f_B 、 f_T 两个参数。

f_B —晶体管的 β 截止频率。当 β 随频率的升高而下降到 β_0 （1000Hz 时的 β 值）的 0.707 时的频率，称为 β 截止频率，或者定义为当 β 比 β_0 低 3dB 时所对应的频率。

f_T —晶体管的特征频率。它表示 β 随频率上升而下降到 1 时所对应的频率。当工作频率为 f_T 时，晶体管不再具有电流放大作用。一般产品手册中都给出 f_T 的值。 f_T 和 f_B 满足下列关系。

$$f_T = f_B \beta_0 \quad (2·1·2)$$

通常把 $f_T < 3$ MHz 的管子称为低频管， $f_T \geq 3$ MHz 的称为高频管， $P_C < 1$ W 的叫小功率管， $P_C > 1$ W 的叫大功率管。

3AX 系列的锗 PNP 管，是典型的低频小功率晶体管，主要用于低频电路。表 2·1·9 列出了一些常用的低频小功率管的典型参数。

(6) 高频小功率晶体管 高频晶体管是指对